

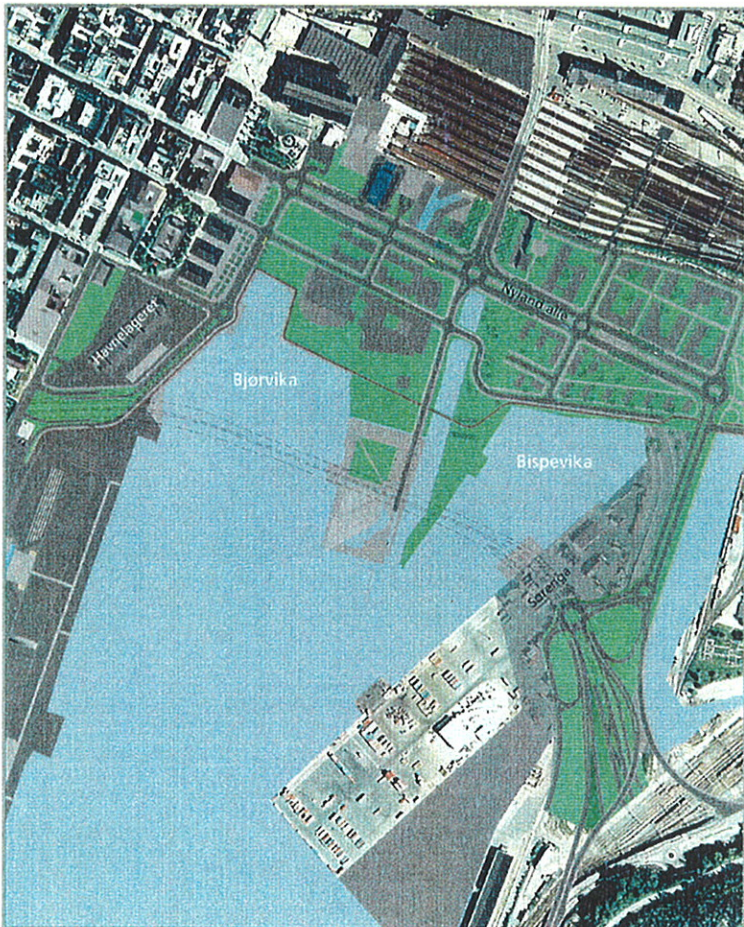
# Oppdragssrapport

s. 97/o 5242-158  
ark. 363

## Oppdrag A-21A rapport nr. 7

E18 mellom Festningstunnelen  
og Ekebergtunnelen.  
Loenga

Grunnundersøkelser for detalj-  
og reguleringsplan.



22. april 1999



Statens vegvesen  
Vegdirektoratet

Vegteknisk avdeling

# Oppdrag A-21A, rapport nr. 7

## E18 mellom Festningstunnelen og Ekebergtunnelen. Loenga Grunnundersøkelser for detalj- og reguleringsplan.

### Sammendrag

I forbindelse med utarbeidelse av detalj- og reguleringsplan for ny E18 mellom Festningstunnelen og Ekebergtunnelen er det utført grunnundersøkelser ved Havnelageret, i Bjørvika, på Bjørvikautstikkeren, i Bispevika, på Sørenga og på Loenga. Denne rapporten omhandler grunnundersøkelsene som er utført på Loenga.

Fjellnivået varierer i det undersøkte området fra kote ca. +12 til kote ca. -20 for østgående løp og fra kote ca. +19 til kote ca. -13 for vestgående løp. Fjellet faller av mot NV, dvs. mot Sørenga.

Ut i fra sonderingene er det grunn til å tro at løsmassene over fjell består av leire under fast lag. Det er også registrert et fast lag over fjell, mektigheten av dette laget er inntil 3 - 5 m.

Under det faste topplaget viser prøveseriene i grove trekk siltig leire/ leire ned mot fjell.

Forslag til anbefalt skjærstyrkeprofil, effektivspenningsparametre og setningsparametre framkommer av rapportens kapittel 3.

Emneord: *Grunnundersøkelser, totalsonderinger, 54 mm prøveserier*

Fylke: *Oslo*  
Anlegg/parsell: *E18 Festningstunnelen - Ekebergtunnelen*  
UTM-ref.: *NM 96 43*  
Kontor: *Geoteknisk*  
Saksbehandler: *Anne Braaten* / ANB  
Dato: *22. april 1999*

# Innhold

|                               |   |
|-------------------------------|---|
| 1. ORIENTERING                | 2 |
| 2. MARK- OG LABORATORIEARBEID | 3 |
| 3. GRUNNFORHOLD               | 3 |

# Bilag

- |       |    |   |
|-------|----|---|
| Bilag | 1: | Tegningsforklaring                                      |
|       | 2: | Oversikt over rapporter fra grunnundersøkelsene i 1999. |
|       | 3: | Oversikt over utførte totalsonderinger.                 |
|       | 4: | Tolkningsparametre fra treaksialforsøk.                 |
|       | 5: | Aktive treaksialforsøk.                                 |
|       | 6: | Passive treaksialforsøk.                                |
|       | 7: | Tolkningsparametre fra ødometerforsøk.                  |
|       | 8: | Kontinuerlige ødometerforsøk.                           |

# Tegninger

- A-21A:
- 85: Oversikt. Målestokk 1:5000
  - 86: Oversikt med borer. Målestokk 1:500
  - 87: Lengdeprofil østgående løp. Profil 2900 - 3050: Høyre side.
  - 88: Lengdeprofil østgående løp. Profil 2900 - 3050: Venstre side.
  - 89: Lengdeprofil vestgående løp. Profil 2700 - 2880: Høyre side.
  - 90: Lengdeprofil vestgående løp. Profil 2700 - 2850: Venstre side.

## 1. Orientering

I forbindelse med utarbeidelse av detalj- og reguleringsplan for ny E18 mellom Festningstunnelen og Ekebergtunnelen er det utført grunnundersøkelser ved Havnelageret, i Bjørvika, på Bjørvikautstikkeren, i Bispevika, på Sørenga og på Loenga. Denne rapporten omhandler grunnundersøkelsene som er utført på Loenga.

Angående grunnundersøkelser som er utført/rapportert i tidligere fase av prosjektet vises det til Vegteknisk avdelings (Veglaboratoriets) rapporter:

A-21A rapport nr. 1

E18 mellom Oslotunnelen og Ekebergtunnelen.

Loddinger og lette sonderinger i Bjørvika og Bispevika. Kartlegging av tykkelse på slamlag.

10. juni 1996

A-21A rapport nr. 2 - DEL I og DEL II

E18 mellom Festningstunnelen og Ekebergtunnelen

Grunnundersøkelser for detaljplan, Alternativ B

20. august 1996

A-21A rapport nr. 3

E18 mellom Festningstunnelen og Ekebergtunnelen

Supplerende loddinger og lette sonderinger i Bjørvika og Bispevika

21. august 1998

A-21A rapport nr. 4

E18 mellom Festningstunnelen og Ekebergtunnelen

Supplerende grunnundersøkelser.

6. november 1998

A-21A rapport nr. 5

E18 mellom Festningstunnelen og Ekebergtunnelen

Havnelageret

Grunnundersøkelser for detalj- og reguleringsplan.

12. februar 1999

A-21A rapport nr. 6

E18 mellom Festningstunnelen og Ekebergtunnelen

Sørenga

Grunnundersøkelser for detalj- og reguleringsplan.

15. april 1999

Videre vil øvrige grunnundersøkelser som er utført nå i 1999 bli presentert i rapportene A-21A nr. 8 og nr. 9. Området som dekkes av de ulike rapportene er vist på bilag 2.

De supplerende grunnundersøkelsene ved Loenga er planlagt ut i fra forslag fra konsulenten v/Geovita as.

## 2. Mark- og laboratoriearbeid

Grunnundersøkelsene utført i 1999 er delt inn i 5 områder og nummerert etter følgende system:

Sørenga: Borpunktsnummer 99001 - 99026

**Loenga: Borpunktsnummer 99101 - 99152**

Havnelageret: Borpunktsnummer 99201 - 99216

Bispevika: Borpunktsnummer 99301 - 99309

Bjørvika: Borpunktsnummer 99401 - 99423

Borpunktsnumrene er for oversiktens skyld gjengitt på oversiktstegningen (-86), og på lengdeprofilene (-87 til -90).

Grunnundersøkelsene på Loenga er utført parallelt med borerigger fra henholdsvis Statens vegvesen Akershus og Statens vegvesen Buskerud. Boringene er utført i januar og februar 1999. Begge fylkene benytter borerigg GTB-150.

Det er utført 52 totalsonderinger til fjell.

Det er tatt opp tre prøveserier med 54 mm prøvetaker. Prøveseriene er tatt til stopp mot fast grunn eller fjell.

Det gjøres oppmerksom på at lengdeprofilene er tegnet opp fra Ekebergåsen og mot Sørenga/Bispevika i overensstemmelse med kjeding på linjene (dvs. fra SØ og mot NV). Der det var stor uoverensstemmelse mellom terrenghodden og innmålt topp boring er terrenget på lengdeprofilene lagt i høyde med boringene.

Spyletrykket ved totalsonderingene er ikke vist på grunn av registreringsfeil.

Laboratorieundersøkelsene er utført ved Vegteknisk avdeling. På den ene prøveserien, hullnr. 99135, er det i tillegg til rutineundersøkelser utført kontinuerlige ødometerforsøk og treaksialforsøk.

## 3. Grunnforhold

Registrert fjellnivå varierer i det undersøkte området fra kote ca. +12 til kote ca. -20 for østgående løp og fra kote ca. +19 til kote ca. -13 for vestgående løp. Fjellet faller av mot NV, dvs. mot Sørenga.

Ut ifra sonderingene er det grunn til å tro at løsmassene over fjell består av leire under et fastere topplag. Det er også registrert et fast lag over fjell, mektigheten av dette laget er inntil 3 - 5 m.

De tre prøveseriene som er tatt opp ligger inntil ca. 80 m fra hverandre, imidlertid tyder resultatene av laboratorieforsøkene på at materialet er relativt homogent i området. Prøveseriene vil derfor bli beskrevet under ett.

Prøveseriene viser et fast lag i toppen, tykkelsen av dette er 3 - 4 m. Under det faste topplaget er det siltig leire/ leire ned mot fjell. I den siste prøven ned mot fast grunn, er det grovere masser (siltig, leirig sand). Glødetapsanalysene indikerer et innhold av organisk materiale på 1,6 - 2,7 %.

I den ene prøveserien, hull 99135, er det påvist en del skjellrester i materialet.

### Treaksialforsøk

Prøvene for treaksialforsøkene er konsolidert anisotrop, det er benyttet  $K_0' = 0,55$ . Det gjøres oppmerksom på at prøvene er konsolidert til ca. 10 - 20 kPa under in-situ markspenninger, idet det ble benyttet en grunnvannstand 1 m under terrenget for beregning av konsolideringsspenninger.

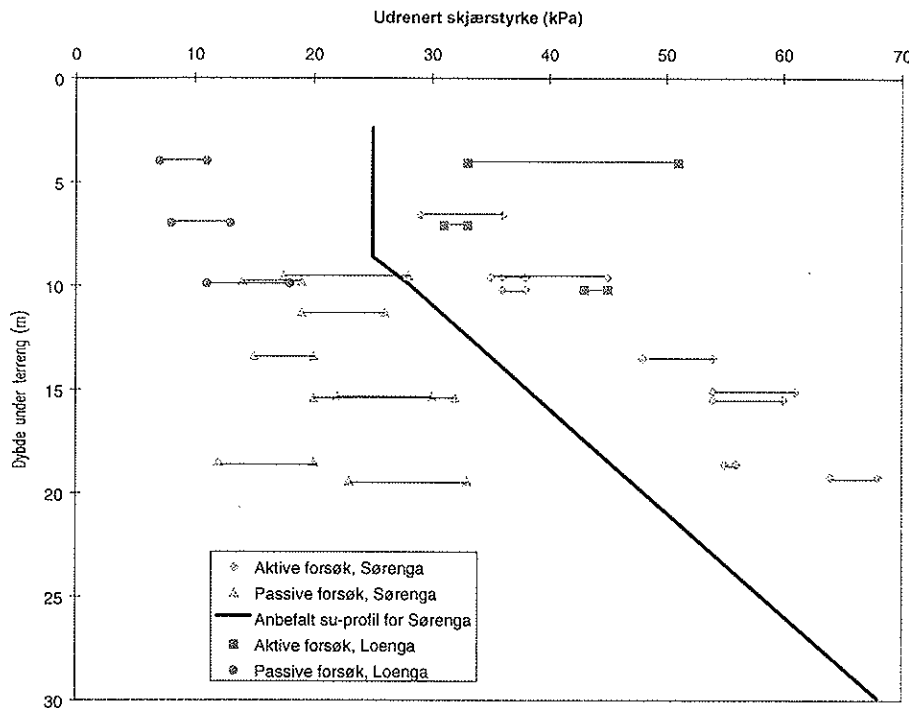
Volumet av utpresset porevann er målt under konsolideringen, og er brukt som et mål på graden av prøveforstyrrelse. Klassifisering av forsøket er i henhold til Håndbok 016, Geoteknikk i vegbygging (side 68).

| <b>Aktive treaksialforsøk</b>  |                |                                 |                           |
|--------------------------------|----------------|---------------------------------|---------------------------|
| <b>Lab.nr.</b>                 | <b>Kote *)</b> | <b>Utpresset porevann (cm³)</b> | <b>Kommentar</b>          |
| 142C                           | +2,1           | 2,50                            | godt forsøk               |
| 145C                           | -0,9           | 5,00                            | godt - akseptabelt forsøk |
| 148B                           | -3,8           | 5,00                            | godt - akseptabelt forsøk |
| <b>Passive treaksialforsøk</b> |                |                                 |                           |
| <b>Lab.nr.</b>                 | <b>Kote *)</b> | <b>Utpresset porevann (cm³)</b> | <b>Kommentar</b>          |
| 142D                           | +2,0           | 3,00                            | godt forsøk               |
| 145D                           | -1,0           | 5,00                            | godt - akseptabelt forsøk |
| 148E                           | -4,1           | 8,00                            | akseptabelt forsøk.       |

\*) For beregning av kotehøyde er det tatt utgangspunkt i at terregnkote (dybde 0) er på + 6,1.

Treaksialforsøkene er tolket med hensyn på effektivspenningsparametrene attraksjon (a) og friksjonsvinkel ( $\phi$ ) samt med hensyn på udrenert skjærstyrke  $s_u$ . Tolkningparametrene er oppsummert i bilag 4.

Figur 1 viser tolkede udrenerte skjærstyrker for Loenga plottet sammen med forslag til anbefalt  $s_u$ -profil for Sørenga, samt skjærstyrkeverdier fra alle utførte treaksialforsøk på Sørenga (dvs. hull nr. 4-S fra 1996, hull nr. 9828 fra 1998 og hull nr. 99014 fra 1999). Det er vist tolket  $s_u$  ved henholdsvis 2% deformasjon og 8% deformasjon. Ut ifra en samlet vurdering av treaksialforsøkene samt rutineforsøk (konus og enaksiale trykkforsøk), anbefaler vi at det benyttes samme skjærstyrkeprofil for leira på Loenga som på Sørenga.



**Figur 1 Forslag til skjærstyrkeprofil for Loenga og Sørenga, ved Loenga gjelder profilet ned til fast grunn over fjell (mellan 8 og 13 m under terrenget).**

Ut i fra de utførte treaksialforsøkene kan det etter vår mening være grunnlag for å tolke følgende effektivspenningsparametre:

$$\begin{array}{lll} \text{Aktiv styrke:} & a_A = 10 \text{ kPa} & \varphi_A = 30^0 \\ \text{Passiv styrke:} & a_P = 10 \text{ kPa} & \varphi_P = 11^0 \end{array}$$

På grunn av at treaksialforsøkene er konsolidert til spenninger som er noe lavere enn in-situ markspenninger, kan dette gi noe for høye effektivspenningsparametre. Vi anbefaler derfor at aktiv styrke justeres ned, og at det benyttes samme aktive styrke for Loenga som for Sørenga.

Følgende effektivspenningsparametre anbefales benyttet på Loenga:

$$\begin{array}{lll} \text{Aktiv styrke:} & a_A = 10 \text{ kPa} & \varphi_A = 28^0 \\ \text{Passiv styrke:} & a_P = 10 \text{ kPa} & \varphi_P = 11^0 \end{array}$$

## Ødometerforsøk

Ødometerforsøkene er kjørt som kontinuerlige ødometerforsøk av typen CRS (Constant Rate of Strain).

Forsøkene viser at modultallet er i størrelsesorden  $m = 24$  for den siltige leiren og i størrelsesorden  $m = 15$  for leira. Konsolideringskoeffisienten ligger i området  $Cv = 10 \text{ m}^2/\text{år}$  for spenningsnivåer lavere enn  $p_0'$ . For spenningsnivåer større enn  $p_0'$  er konsolideringskoeffisienten i størrelsesorden  $Cv = 15 \text{ m}^2/\text{år}$  for den siltige leira og  $Cv = 6 \text{ m}^2/\text{år}$  for leira.

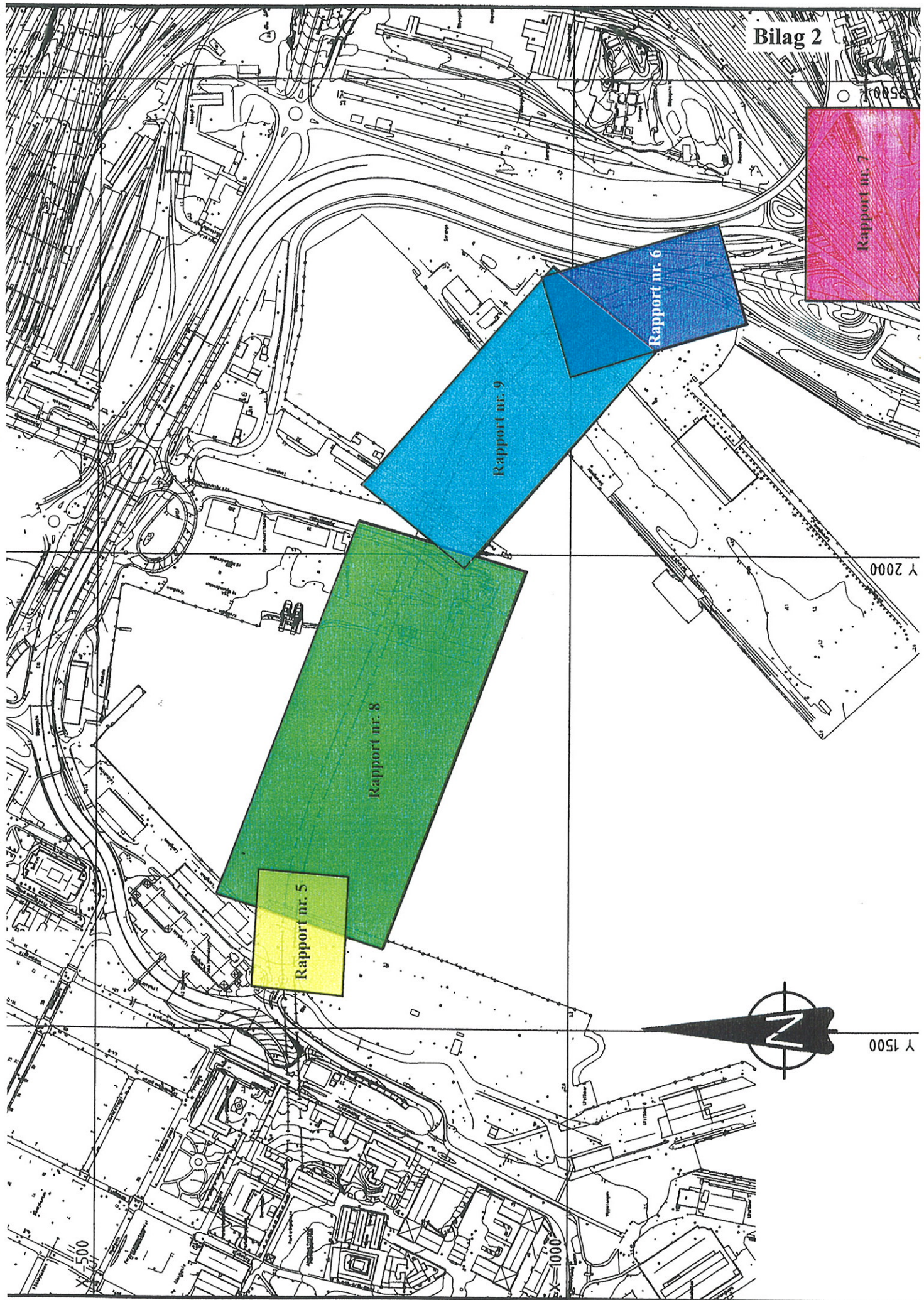
Tolkningsparametre fra ødometerforsøkene er oppsummert på bilag 7.

Vegteknisk avdeling  
Geoteknisk kontor

Frode Oset  
senioringeniør

Anne Braaten  
overingeniør

Bilag 2



### BILAG 3

#### Totalsonderinger - Loenga

| Hull<br>nr. | X-<br>koordinat | Y-<br>koordinat | Terreng-<br>kote | Fjellkote | Merknad | Rigg<br>*) |
|-------------|-----------------|-----------------|------------------|-----------|---------|------------|
| 99101       | -1225,3         | 2344,6          | +4,4             | -12,9     |         | A          |
| 99102       | -1244,2         | 2284,7          | +8,3             | -20,6     |         | B          |
| 99103       | -1248,2         | 2293,6          | +8,5             | -17,3     |         | B          |
| 99104       | -1253,0         | 2285,5          | +9,1             | -18,1     |         | B          |
| 99105       | -1263,1         | 2296,1          | +8,9             | -12,1     |         | B          |
| 99106       | -1267,9         | 2287,7          | +10,0            | -15,4     |         | A          |
| 99107       | -1238,7         | 2350,2          | +6,4             | -9,6      |         | A          |
| 99108       | -1248,7         | 2355,3          | +6,1             | -8,0      |         | A          |
| 99109       | -1254,6         | 2347,5          | +4,6             | -6,9      |         | A          |
| 99110       | -1277,8         | 2298,7          | +9,6             | -8,6      |         | B          |
| 99111       | -1282,7         | 2290,5          | +10,7            | -12,3     |         | A          |
| 99112       | -1291,1         | 2291,4          | +9,1             | -12,2     |         | B          |
| 99113       | -1297,1         | 2302,4          | +6,3             | -8,3      |         | B          |
| 99114       | -1307,2         | 2305,6          | +6,0             | -7,6      |         | A          |
| 99115       | -1313,0         | 2296,3          | +6,1             | -9,9      |         | A          |
| 99116       | -1323,5         | 2298,5          | +6,2             | -7,4      |         | A          |
| 99117       | -1327,9         | 2308,9          | +6,2             | -4,9      |         | B          |
| 99118       | -1332,9         | 2300,6          | +6,2             | -6,5      |         | A          |
| 99119       | -1339,3         | 2311,9          | +6,2             | -4,0      |         | B          |
| 99120       | -1343,4         | 2303,3          | +6,2             | -4,4      |         | A          |
| 99121       | -1347,0         | 2314,1          | +6,2             | -0,6      |         | B          |
| 99122       | -1351,1         | 2315,7          | +6,2             | +2,2      |         | B          |
| 99123       | -1352,3         | 2305,4          | +6,3             | +2,5      |         | A          |
| 99124       | -1356,2         | 2304,5          | +6,3             | +4,2      |         | A          |
| 99125       | -1371,1         | 2321,1          | +14,2            | +9,3      |         | B          |
| 99126       | -1374,9         | 2312,2          | +14,4            | +7,4      |         | B          |
| 99127       | -1379,1         | 2314,1          | +14,8            | +11,9     |         | B          |
| 99128       | -1261,6         | 2362,9          | +5,8             | -9,7      |         | B          |
| 99129       | -1267,7         | 2355,7          | +5,8             | -7,6      |         | B          |
| 99130       | -1269,7         | 2368,6          | +5,9             | -7,1      |         | B          |
| 99131       | -1275,0         | 2360,1          | +5,8             | -6,9      |         | B          |
| 99132       | -1276,7         | 2373,8          | +6,0             | -6,2      |         | A          |
| 99133       | -1282,6         | 2366,2          | +6,0             | -6,3      |         | B          |
| 99134       | -1290,3         | 2372,1          | +6,0             | -5,4      |         | B          |
| 99135       | -1292,4         | 2385,7          | +6,1             | -3,9      |         | A          |
| 99136       | -1298,0         | 2378,2          | +6,1             | -3,8      |         | B          |
| 99137       | -1298,9         | 2391,0          | +6,1             | -2,7      |         | A          |
| 99138       | -1304,0         | 2394,8          | +6,1             | -1,7      |         | A          |
| 99139       | -1307,9         | 2398,9          | +6,2             | -0,5      |         | B          |

|       |         |        |       |       |  |   |
|-------|---------|--------|-------|-------|--|---|
| 99140 | -1311,4 | 2401,8 | +6,1  | +0,4  |  | B |
| 99141 | -1308,0 | 2387,0 | +6,1  | -1,5  |  | B |
| 99142 | -1311,7 | 2390,3 | +6,2  | -0,9  |  | A |
| 99143 | -1315,0 | 2393,2 | +6,1  | 0,0   | Rakk ikke bore 3 m i fjell pga.<br>kommende tog. | A |
| 99144 | -1330,4 | 2406,8 | +13,8 | +3,1  |  | B |
| 99145 | -1333,9 | 2420,2 | +13,6 | +3,6  |  | B |
| 99146 | -1338,3 | 2413,3 | +13,5 | +9,0  |  | B |
| 99147 | -1344,7 | 2418,2 | +13,4 | +10,2 |  | B |
| 99148 | -1340,4 | 2427,5 | +13,5 | +10,7 |  | B |
| 99149 | -1351,6 | 2437,9 | +17,5 | +12,7 |  | B |
| 99150 | -1355,3 | 2428,8 | +17,0 | +16,4 |  | B |
| 99151 | -1355,6 | 2440,4 | +18,0 | +14,2 |  | B |
| 99152 | -1360,3 | 2432,3 | +20,4 | +19,0 |  | B |

\*)Hullnummer merket med A i kolonnen for Rigg er boret av Statens vegvesen Akershus  
 Hullnummer merket med B i kolonnen for Rigg er boret av Statens vegvesen Buskerud

## BILAG 4

### Tolkningsparametre fra treaksialforsøk, totalspenningsbasis

| Kote | Type<br>forsøk | $p_o'$<br>[kPa] | $K_0'$ | $u_0'$<br>[kPa] | w<br>[%] | $\Delta V$<br>[cm <sup>3</sup> ] | $s_u$<br>[kPa]    | $s_u/p_o'$ | $s_u$<br>[kPa]    | $s_u/p_o'$ |
|------|----------------|-----------------|--------|-----------------|----------|----------------------------------|-------------------|------------|-------------------|------------|
|      |                |                 |        |                 |          |                                  | $\varepsilon_v =$ | 2%         | $\varepsilon_v =$ | 8%         |
| +2,1 | CAUA1          | 48,0            | 0,55   | 30,0            | 30       | 2,5                              | 33                | 0,69       | 51                | 1,06       |
| -0,9 | CAUA1          | 76,0            | 0,55   | 60,0            | 35       | 5,0                              | 31                | 0,40       | 33                | 0,43       |
| -3,8 | CAUA1          | 103,0           | 0,55   | 89,0            | 30       | 5,0                              | 43                | 0,42       | 45                | 0,44       |
| +2,0 | CAUP3          | 48,5            | 0,55   | 31,0            | 30       | 3,0                              | 7                 | 0,14       | 11                | 0,22       |
| -1,0 | CAUP3          | 77,0            | 0,55   | 61,0            | 35       | 5,0                              | 8                 | 0,10       | 13                | 0,17       |
| -4,1 | CAUP3          | 106,0           | 0,55   | 92,0            | 30       | 8,0                              | 11                | 0,10       | 18                | 0,17       |

\*  $p_o'$  er beregnet med en antatt grunnvannstand 1 m under terreng.

### Tolkningsparametre fra treaksialforsøk, effektivspenningsbasis

| Kote | Type<br>forsøk | $p_o'$<br>[kPa] | $K_0'$ | $u_0'$<br>[kPa] | w<br>[%] | $\Delta V$<br>[cm <sup>3</sup> ] | a<br>[kPa] | $\phi$<br>[°] | Materiale        | Bilag |
|------|----------------|-----------------|--------|-----------------|----------|----------------------------------|------------|---------------|------------------|-------|
| +2,1 | CAUA1          | 48,0            | 0,55   | 30,0            | 30       | 2,5                              | 10         | 30            | leirig silt      |       |
| -0,9 | CAUA1          | 76,0            | 0,55   | 60,0            | 35       | 5,0                              | 10         | 30            | leire            | 5     |
| -3,8 | CAUA1          | 103,0           | 0,55   | 89,0            | 30       | 5,0                              | 10         | 30            | leire (sandkorn) |       |
| +2,0 | CAUP3          | 48,5            | 0,55   | 31,0            | 30       | 3,0                              | 10         | 11            | leirig silt      |       |
| -1,0 | CAUP3          | 77,0            | 0,55   | 61,0            | 35       | 5,0                              | 10         | 11            | leire            | 6     |
| -4,1 | CAUP3          | 106,0           | 0,55   | 92,0            | 30       | 8,0                              | 10         | 11            | leire (sandkorn) |       |

CAUA1: "Anisotrop konsolidert, udrenert, aktiv, type 1", dvs. selve skjærundersøket utføres ved å øke vertikalspenningen, mens horisontalspenningen holdes konstant.

CAUP3: "Anisotrop konsolidert, udrenert, passiv, type 3", dvs. selve skjærundersøket utføres ved å minske vertikalspenningen, mens horisontalspenningen holdes konstant.

$p_o'$ : effektivt overlagringstrykk  
 $K_0'$ : effektiv hviletrykkskoeffisient under konsolideringen

$u_0'$ : poretrykk

w: initielt vanninnhold

$\Delta V$ : utpresset porevann under konsolidering

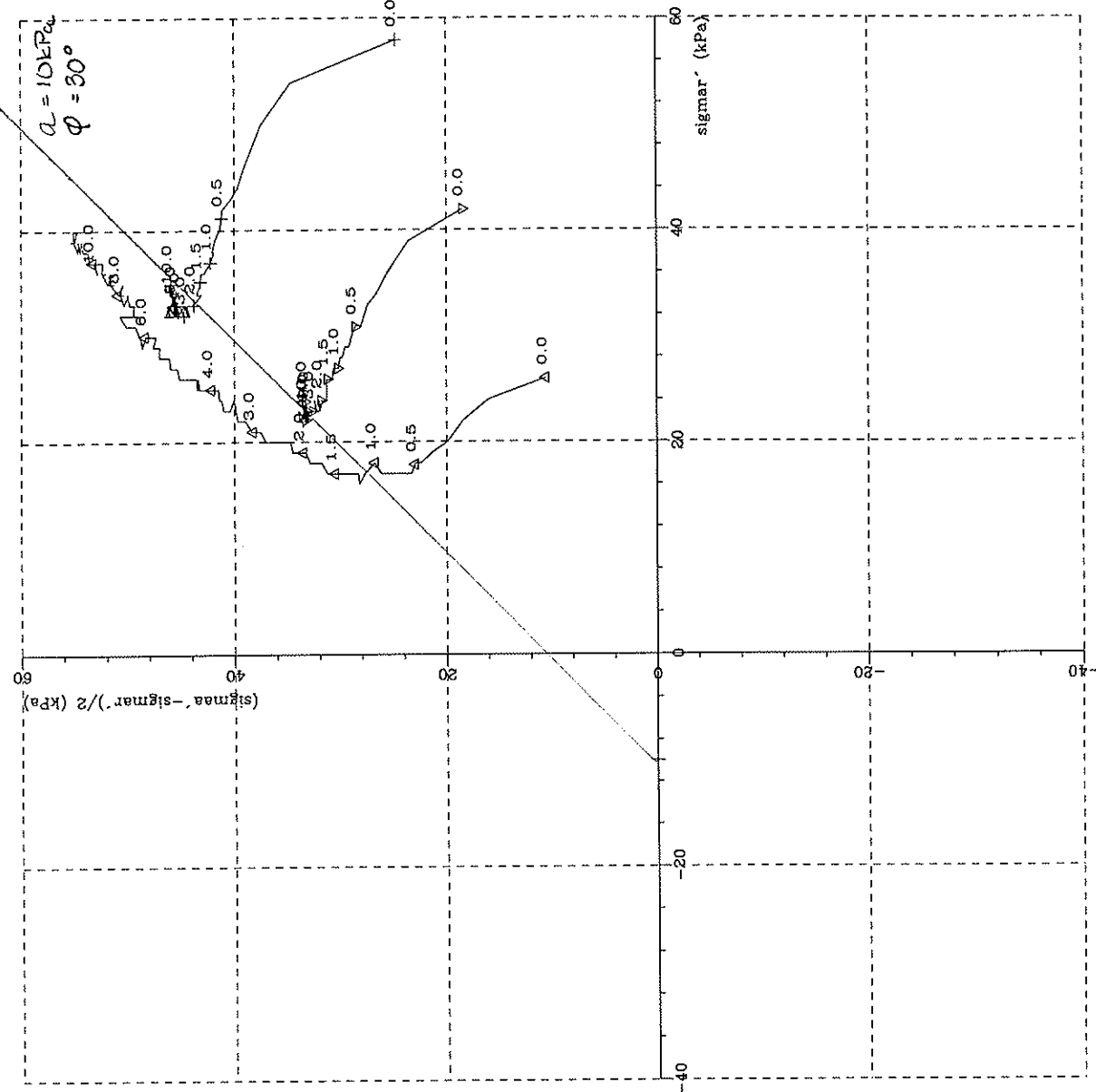
a: attraksjon

$\phi$ : friksjonsvinkel

$s_u$ : udrenert skjærstyrke fra treaksialforsøk

$\varepsilon_v$ : vertikal tøyning

| Sym. | Profil | Dybde(m) | Labnr | Forsøkstype | dV(cm <sup>3</sup> ) | Korr. | Kommentar               |
|------|--------|----------|-------|-------------|----------------------|-------|-------------------------|
|      | 99135A | 4.00     | 142C  | CAUAI       | 2.50                 | 12.4  | leire                   |
|      | 99135A | 7.00     | 145C  | CAUAI       | 5.00                 | 12.4  | silt                    |
|      | 99135A | 9.90     | 148B  | CAUAI       | 5.00                 | 12.4  | leire, sand og gruskorn |



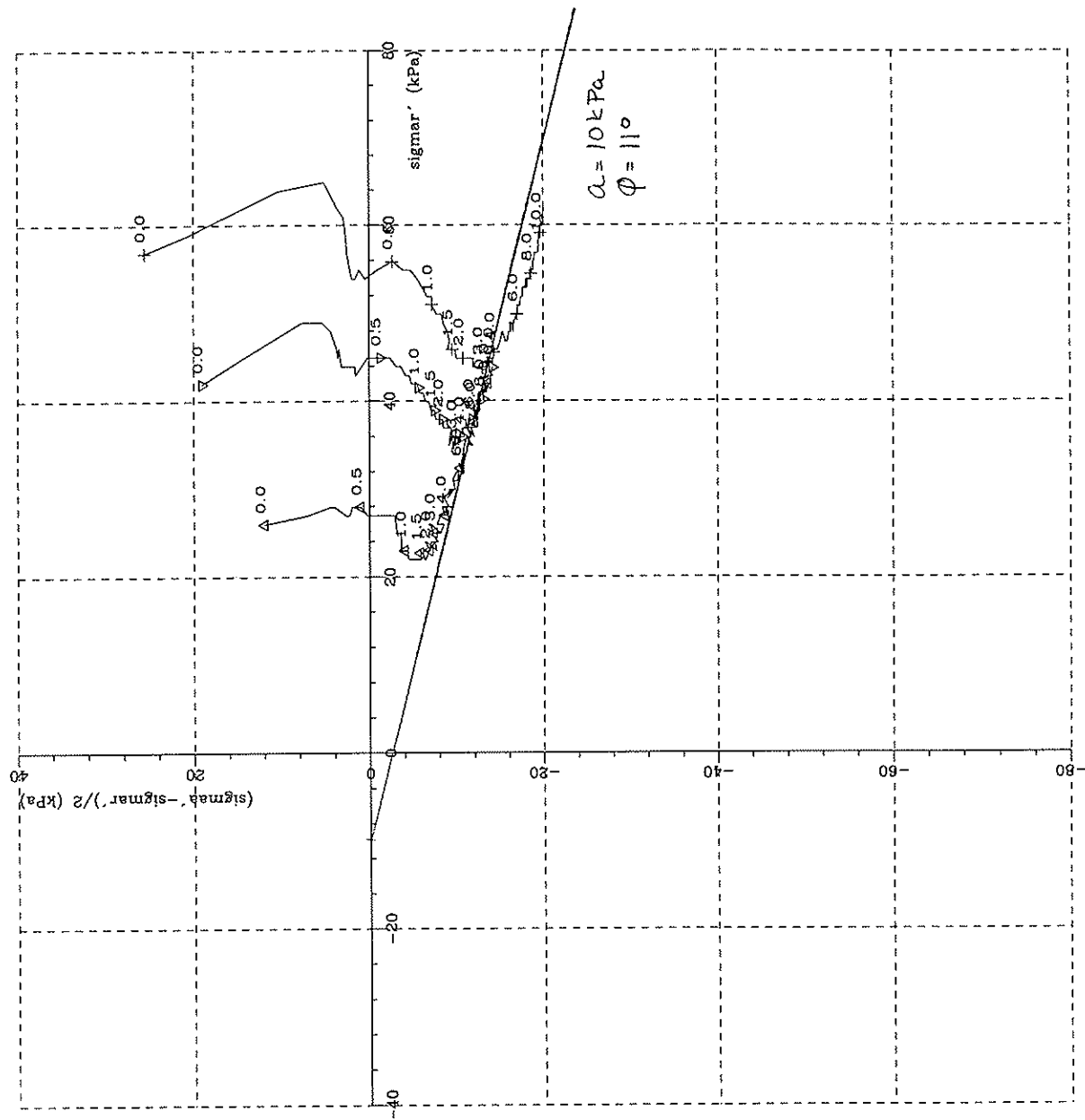
## TREAKSIALFORSØK

VEGTEKNISK AVDELING

Oppdr.nr.  
A21ADato  
6. 4.99

Fig.

| Sym | Profil | Dybde(m) | Labnr | Forsøkstype | $dV(cm^3)$ | Korr. | Kommentar        |
|-----|--------|----------|-------|-------------|------------|-------|------------------|
|     | 99135A | 4.10     | 142D  | CAUP3       | 3.00       | 12.4  | leirig silt      |
|     | 99135  | 7.10     | 145D  | CAUP3       | 5.00       | 12.4  | leire            |
|     | 99135A | 10.20    | 148E  | CAUP3       | 8.00       | 12.4  | sand og gruskorn |



## TREAKSIALFORSØK

VEGTEKNISK AVDELING

Oppdr.nr.  
A21ADato  
6. 4.99

Fig.

## BILAG 7

### Tolkningsparametre fra ødometerforsøk

| Kote/dybde  | $p_o'$<br>[kPa] | $p_c'$<br>[kPa] | M<br>[MPa] | m  | $p_r'$<br>[kPa] | $c_{v1}$<br>[m <sup>2</sup> /år] | $c_{v2}$<br>[m <sup>2</sup> /år] | Materiale    | Bilag |
|-------------|-----------------|-----------------|------------|----|-----------------|----------------------------------|----------------------------------|--------------|-------|
| +1,8 / 4,3  | 50              | -               | 3          | 24 | 110             | 10                               | 15                               | siltig leire | 8     |
| -1,1 / 7,2  | 77              | -               | 3          | 15 | 110             | 10                               | 6                                | leire        | 8     |
| -4,0 / 10,1 | 105             | -               | 3          | 15 | 110             | 10                               | 6                                | leire        | 8     |

$p_o'$ :

effektivt overlagringstrykk

$p_c'$ :

effektivt forkonsolideringstrykk

$p_r'$ :

referansespenning

M:

modul for spenninger mindre enn  $p_c'$  ( $p_o'$ )

m:

modultall

$c_{v1}$ :

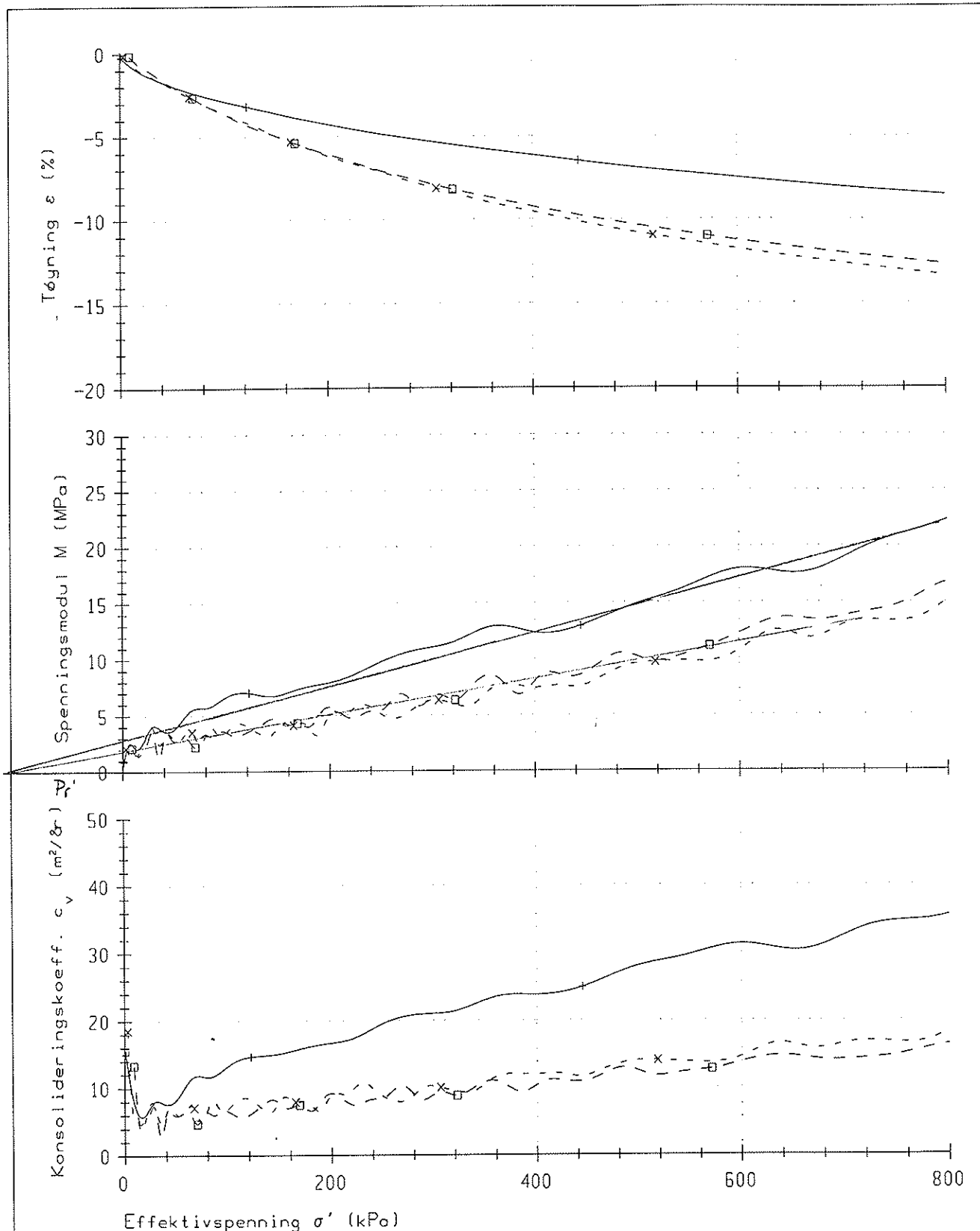
konsolideringskoeffisient gjeldende for spenningsområdet mindre enn  $p_o'$

$c_{v2}$ :

konsolideringskoeffisient umiddelbart etter passering av  $p_o'$

w:

initielt vanninnhold



| Boring           | Dybde,m | Labnr. | F.type | Kommentar    |
|------------------|---------|--------|--------|--------------|
| + + + 99135A     | 4.3     | 142F   | CRS    | siltig leire |
| * -x- * 99135A   | 7.2     | 145E   | CRS    | leire        |
| □ - □ - □ 99135A | 10.1    | 148D   | CRS    | leire        |

KONTINUERLIG ØDOMETER

Veglaboratoriet

|         |            |
|---------|------------|
| Oppdrag | A21A       |
| Dato    | 1999-03-16 |
| Fig.    |            |